

• 研究论文 •

过渡金属混合簇 Nb_2Rh_2 的密度泛函研究

陈 健 谭 凯 林梦海* 张乾二

(厦门大学化学系 固体表面物理化学国家重点实验室 厦门 361005)

摘要 采用密度泛函方法(DFT)研究了过渡金属混合簇 Nb_mRh_n ($m, n \leq 2$) 的结构、稳定性规律及它们的成键情况。结果表明, Nb—Nb 键较强, Rh—Rh 键较弱, 而 Nb—Rh 键的强度则介于两者之间。在 Nb_2Rh_2 直线和折线构型中, 金属键有强弱交替的现象。 Nb_2Rh_2 的各种构型在自旋多重度较小时稳定。

关键词 密度泛函理论; 过渡金属团簇; 金属键

Density Functional Theory Study of Mixed Transition-Metal Clusters Nb_2Rh_2

CHEN, Jian TAN, Kai LIN, Meng-Hai* ZHANG, Qian-Er

(State Key Laboratory of Physical Chemistry of Solid Surfaces, Department of Chemistry, Xiamen University, Xiamen 361005)

Abstract The mixed transition-metal clusters Nb_mRh_n ($m, n \leq 2$) have been calculated using density functional theory and the structures, stabilities and bond formation discussed. The results show that the bond Nb—Nb is stronger than that of Nb—Rh, and the weakest bond is Rh—Rh. The straight line and fold line structures of Nb_2Rh_2 have the weak-strong alternately bonds and all the structures are stable under low spin multiplicity.

Keywords density functional theory; transition-metal cluster; metal bond

过渡金属团簇是实验和理论研究的热门话题, 近年来, 纯的过渡金属团簇的研究发展比较快^[1~4]。小团簇是模拟表面及化学吸附的合适模型, 开展对小团簇的研究有助于理解团簇不同于原子和固体的许多物理和化学性质, 有助于阐明金属团簇的结构特征, 总结相应的规律。对于研究过渡金属混合簇也是如此。本课题组对前-后过渡金属 Ni_nZr_n ($n=3\sim 5$), V_2Co_2 , Nb_2Co_2 等混合簇进行了初步研究^[5,6], 探讨了一些基本金属间成键规律。本文将继续探讨前-后过渡金属混合簇 Nb_2Rh_2 的一些基本性质。

1 计算方法

对过渡金属 Nb, Rh 分别采用相对论有效核势

(RECP)^[7]屏蔽其 28 个内层电子, 用有效核势 Lanl2dz 基组进行 DFT 计算, 对于混合团簇 Nb_mRh_n ($m, n \leq 2$) 采用杂化的相关交换泛函 B3PW91^[8,9]进行结构优化。为了确定得到的结果为稳定构型, 在构型优化的基础上做了频率分析, 只讨论无虚频的结构。所有计算均采用 Gaussian 98 程序^[10]。

2 结果与讨论

2.1 Nb_2 , Rh_2 和 NbRh

对于同核金属双原子分子 Nb_2 及 Rh_2 , 实验和理论上已经进行了较为广泛的研究^[4,11~27](如表 1 所示)。对于双原子分子 Nb_2 , 实验及理论研究一致认为其基态为 $^3\Sigma_g^-$ ^[19,21~24,26], 其电子组态为 $1\pi_u^4 1\sigma_g^2 2\sigma_g^2 1\delta_g^2$ 。最新的实

* E-mail: linmh@xmu.edu.cn; Fax: 0592-2184708.

Received December 30, 2004; revised May 26, 2005; accepted July 22, 2005.

国家自然科学基金(Nos. 90206038, 20373053)和福建省重大项目基金(No. 2002F010)资助项目。

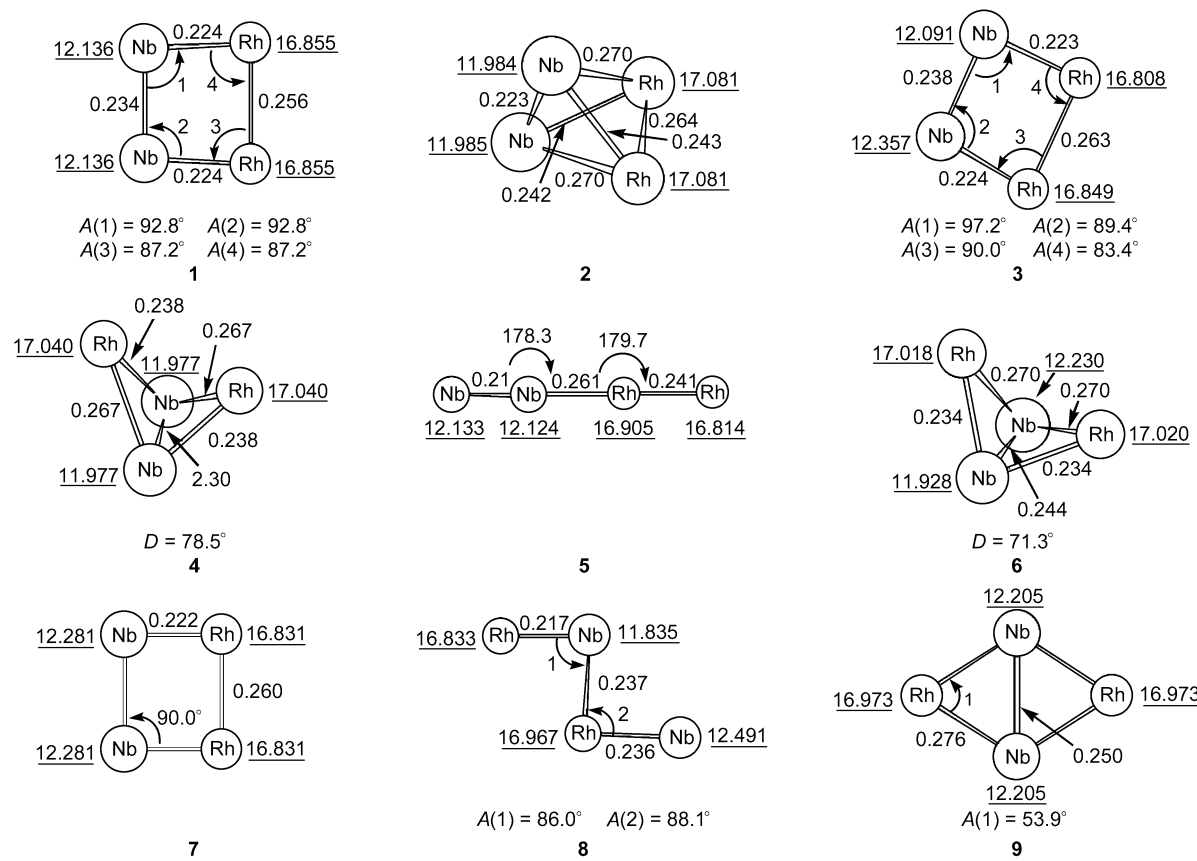


图 1 Nb_2Rh_2 异构体几何结构示意图[Mulliken 原子净集居加下划线, 键角 A, 二面角 D, 两原子之间的数字表示键长(nm)]

Figure 1 Geometry structures of various Nb_2Rh_2 clusters (Mulliken completely populations with underline have been shown, bond angles A, dihedral angles D, other numbers denote bond lengths/nm)

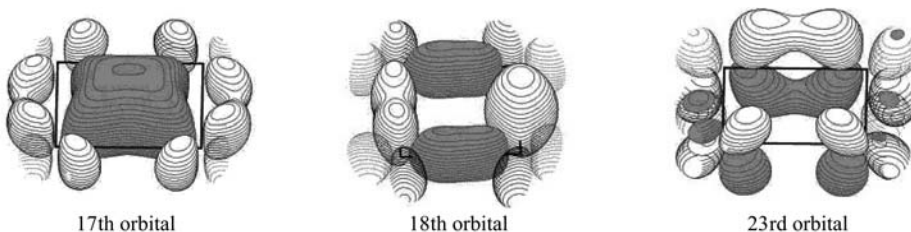


图 2 Nb_2Rh_2 的矩形构型的部分成键轨道示意图

Figure 2 Diagrams for several bonding molecule orbitals of the rectangle of Nb_2Rh_2

表 3 不同构型的 Nb_2Rh_2 的能量和电荷集居比较

Table 3 Comparison of energy and Mulliken overlap populations for various Nb_2Rh_2 clusters

	$2S+1$	Symmetry	$E/\text{a.u.}$	$\Delta E/\text{eV}$	Mulliken overlap populations			
					Nb—Nb	Nb—Rh	Rh—Rh	
1	Trapezium	1	C_{2v}	-331.6828	1.6680	0.904	0.566	0.222
2	Tetrahedron	1	C_1	-331.7074	1.9836	0.948	0.356	0.092
3	Trapezium	3	C_1	-331.6754	1.3959	0.766	0.644	0.248
4	Butterfly	3	C_2	-331.6943	1.6789	0.876	0.414	0.016
5	Straight-line	5	$C_{\infty v}$	-331.5390	1.9455	1.252	0.288	0.452
6	Butterfly	5	C_s	-331.7018	1.6462	0.692	0.120	0.020
7	Rectangle	5	C_{2v}	-331.6571	1.6127	0.636	0.434	0.346
8	Folded-line	5	C_s	-331.6582	1.7140	0.052	0.976	-0.072
9	Rhombus	5	D_{2h}	-331.3867	1.8669	0.866	0.164	0.126

